

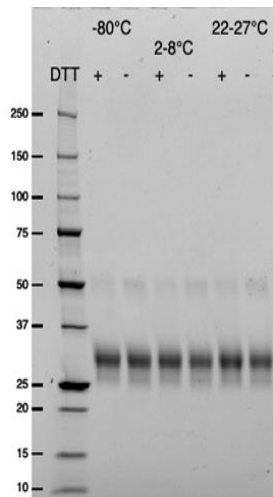
Elicitation of potent neutralizing antibody responses by designed protein nanoparticle vaccines for SARS-CoV-2

Walls AC & Fiala B, et al.

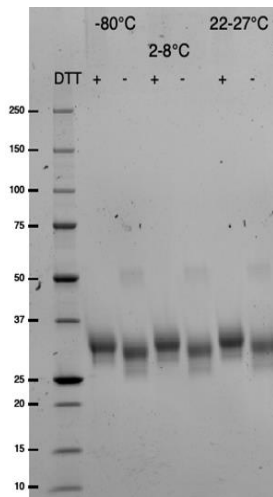
Supplemental Stability Data

SDS-PAGE for Monomeric RBD

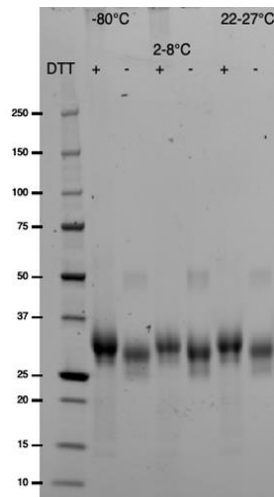
D1



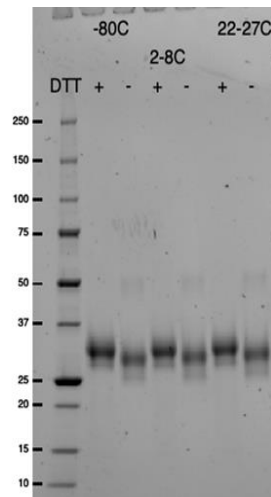
D3



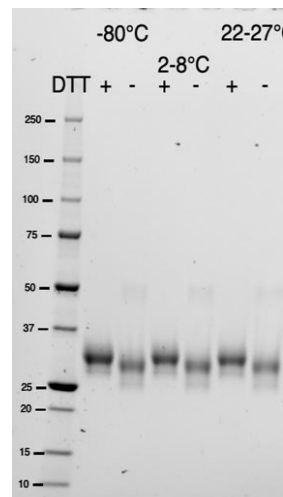
D7



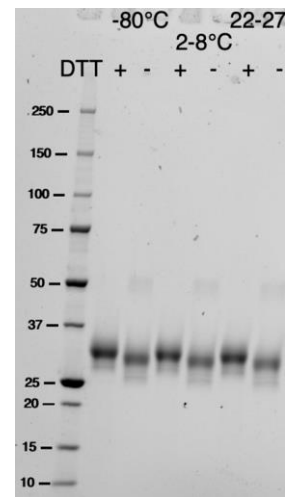
D14



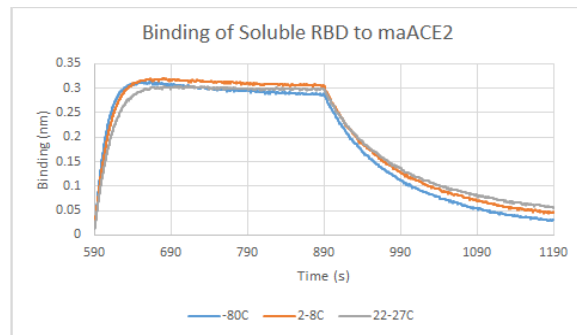
D21



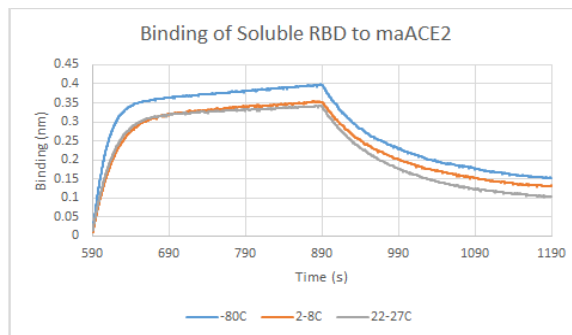
D28



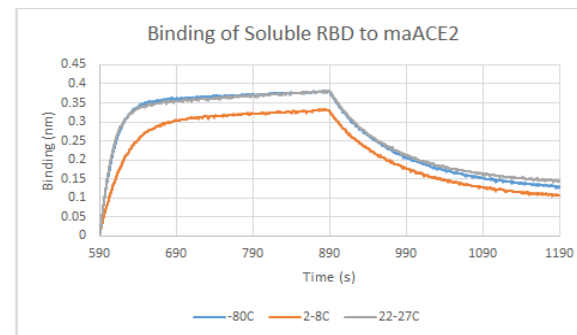
mACE2-Fc Binding Relative to $<-70^{\circ}\text{C}$ Reference for Monomeric RBD



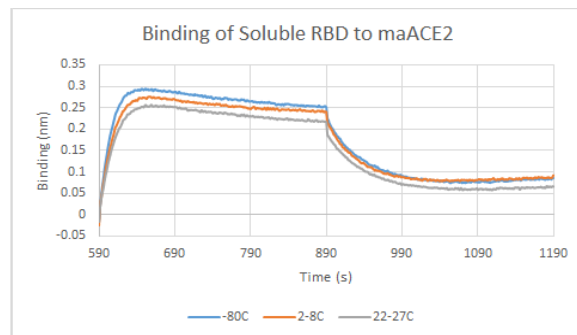
D1



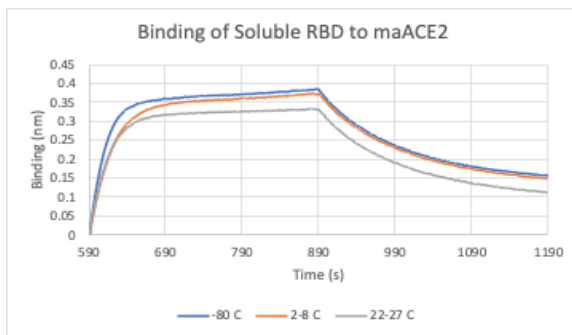
D3



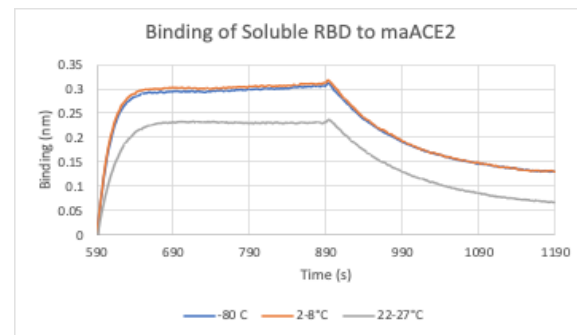
D7



D14

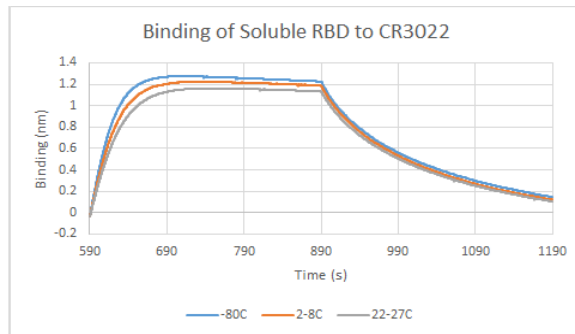


D21

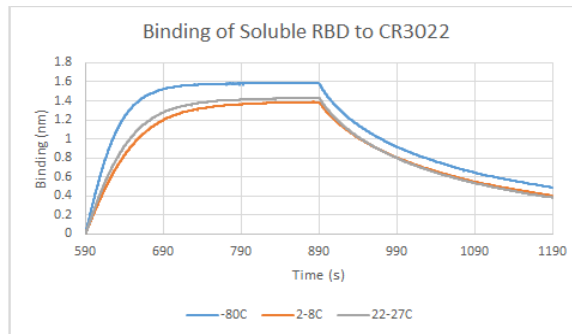


D28

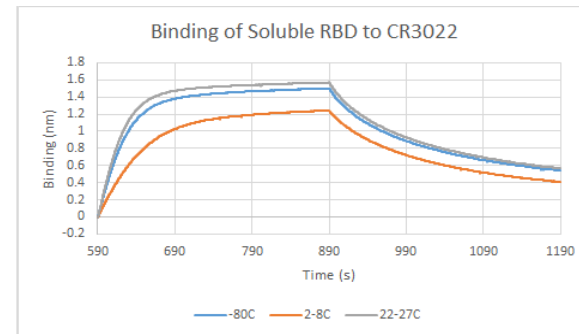
CR3022 IgG Binding Relative to $<-70^{\circ}\text{C}$ Reference for Monomeric RBD



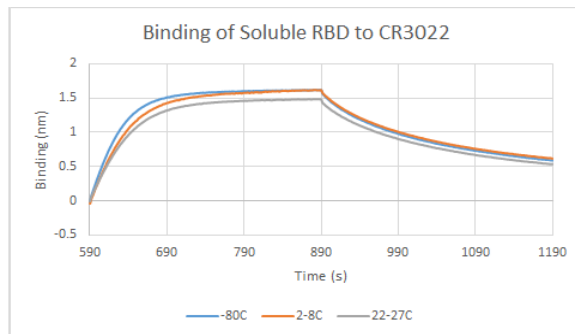
D1



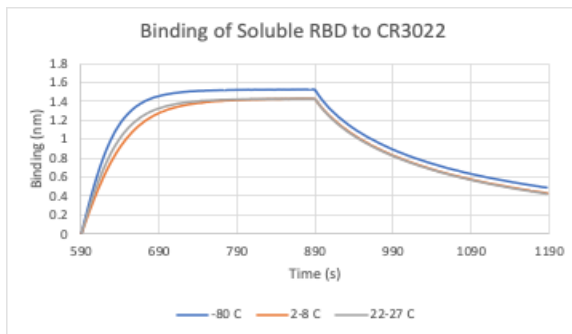
D3



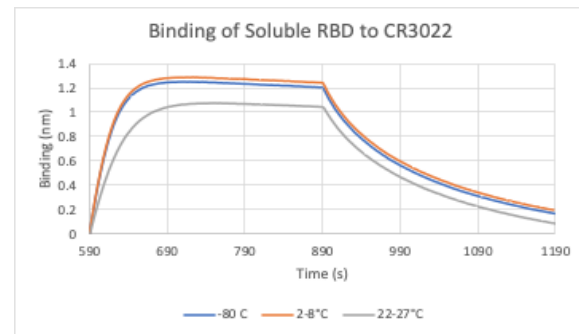
D7



D14

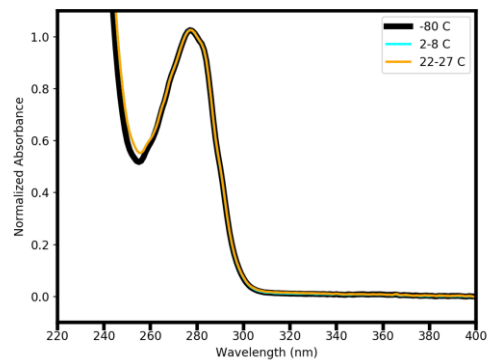


D21

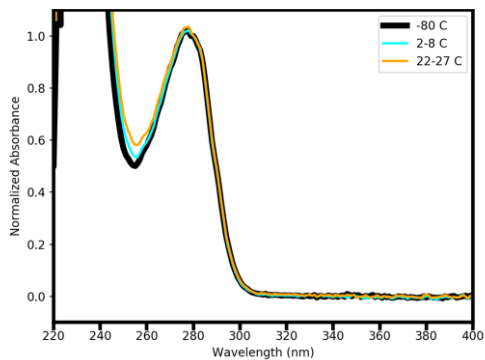


D28

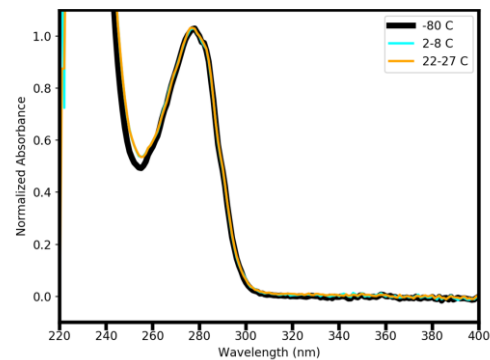
Absorbance at 320/280 nm for Monomeric RBD



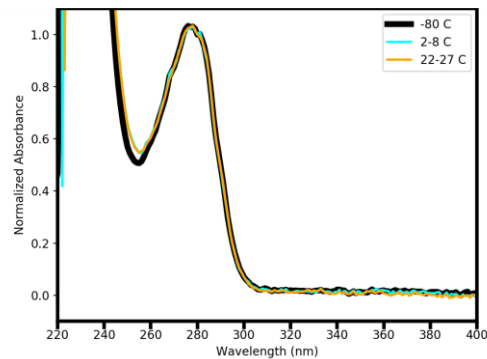
D1



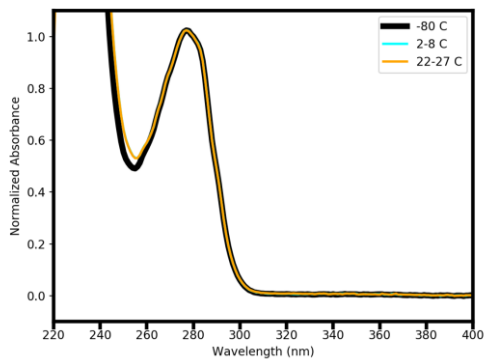
D3



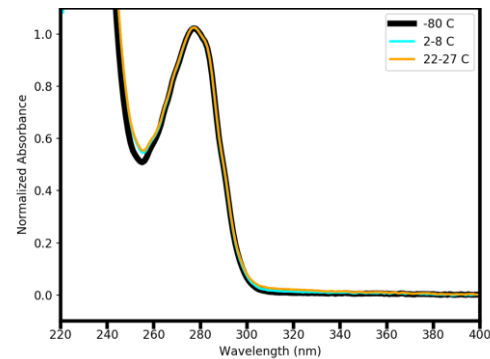
D7



D14

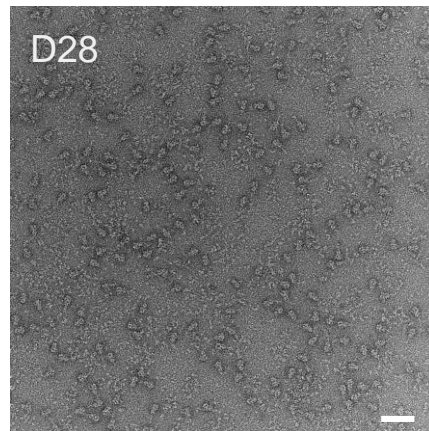
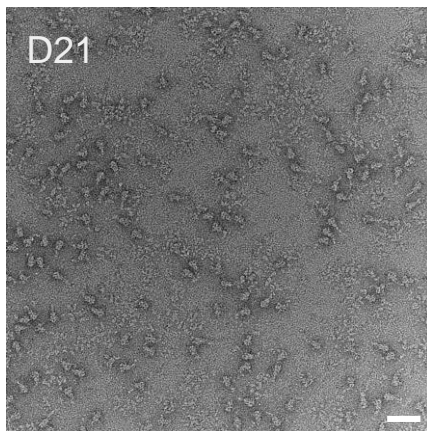
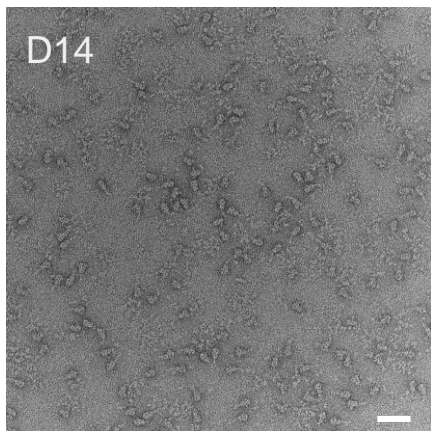
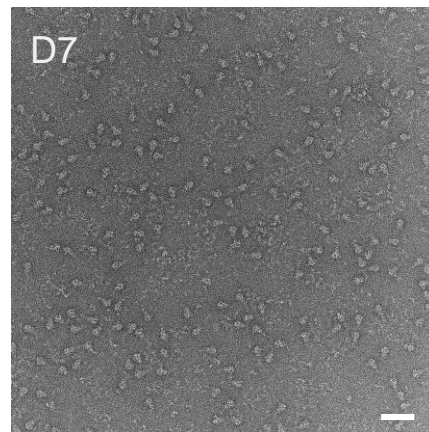
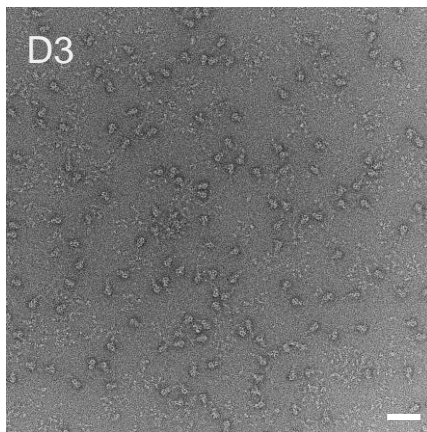
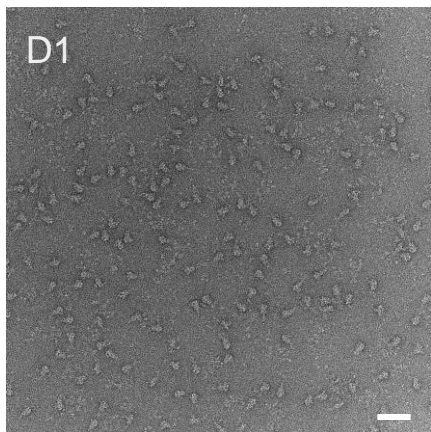


D21



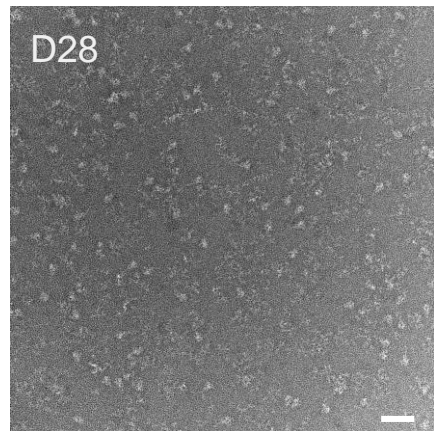
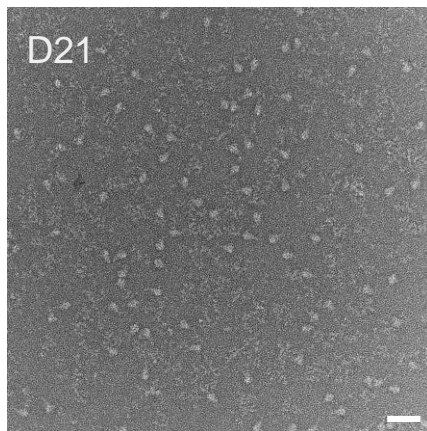
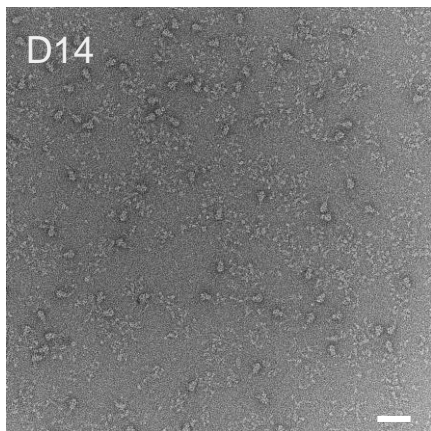
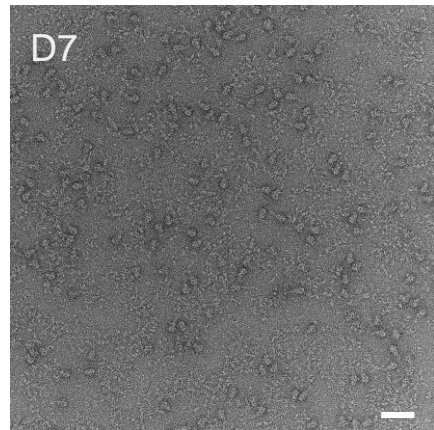
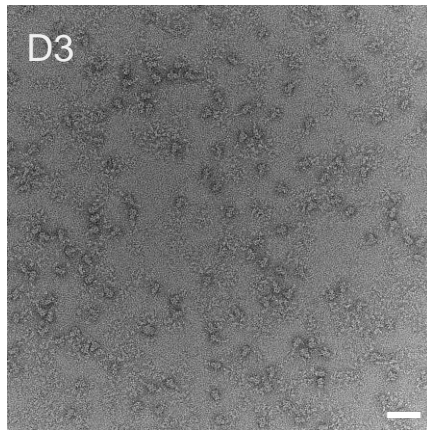
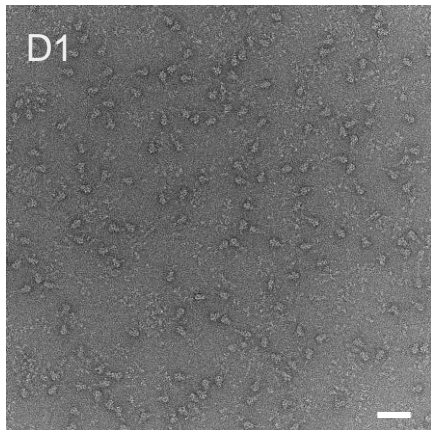
D28

nsEM for S-2P Trimer, -80°C



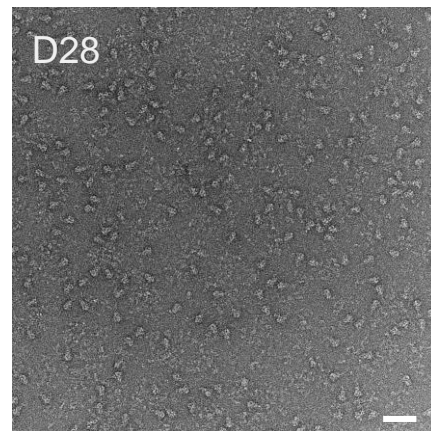
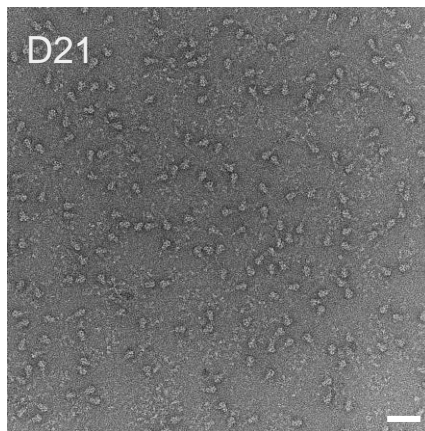
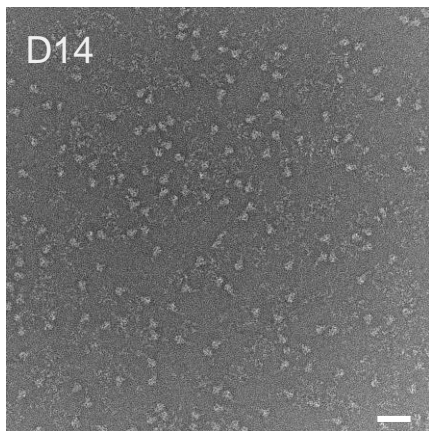
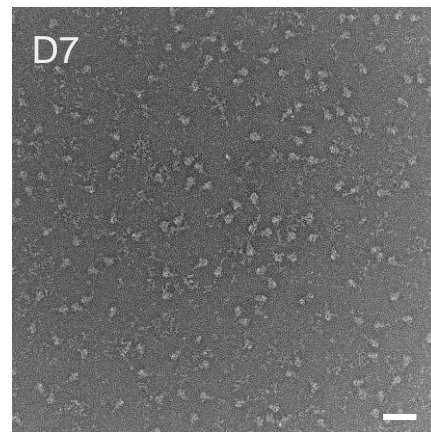
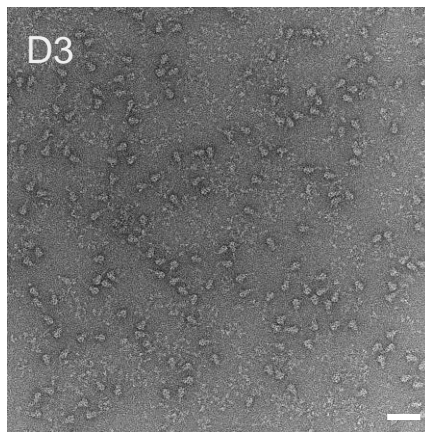
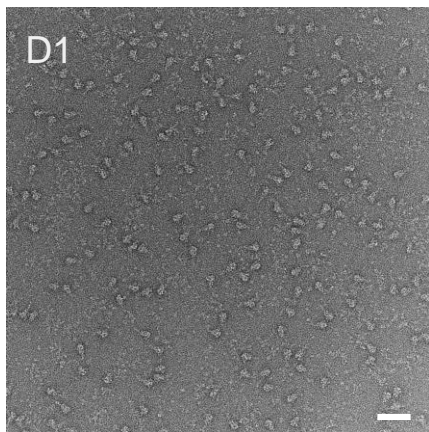
Scale bars: 50 nm

nsEM for S-2P Trimer, 2-8°C



Scale bars: 50 nm

nsEM for S-2P Trimer, 22-27°C



Scale bars: 50 nm

SDS-PAGE for RBD-8GS-I53-50A

D1

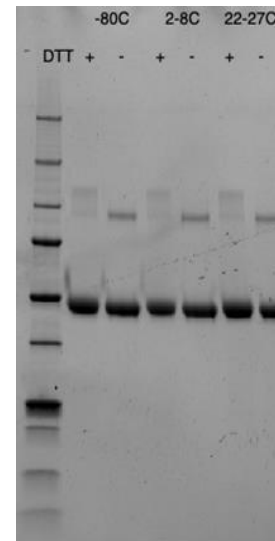
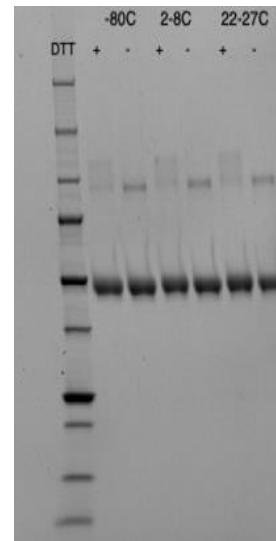
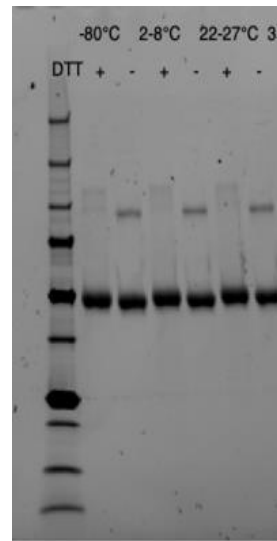
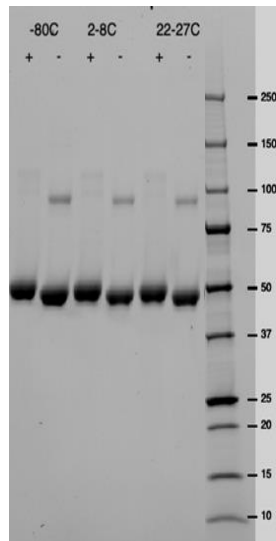
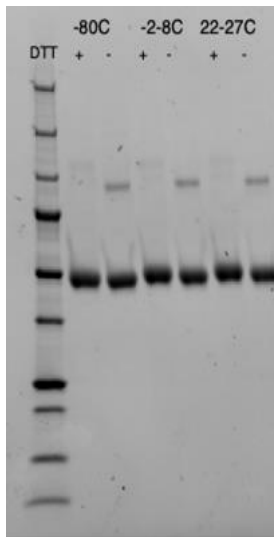
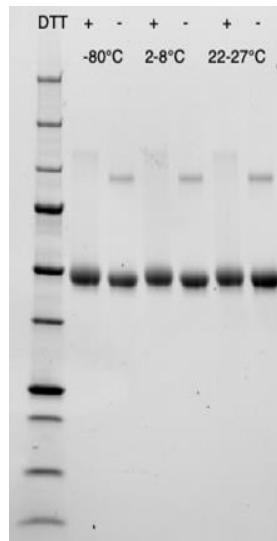
D3

D7

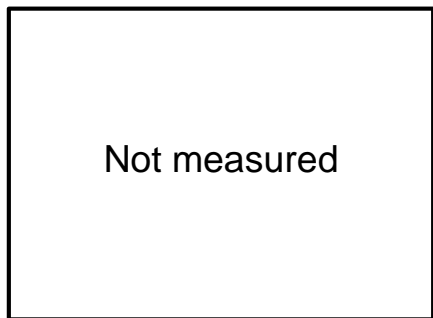
D14

D21

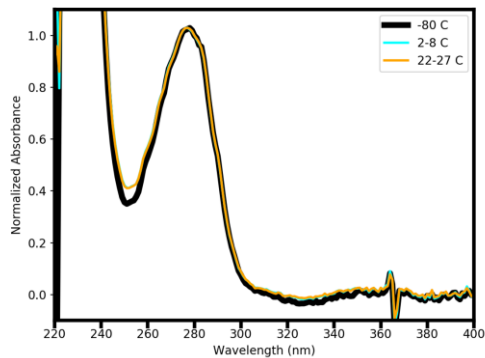
D28



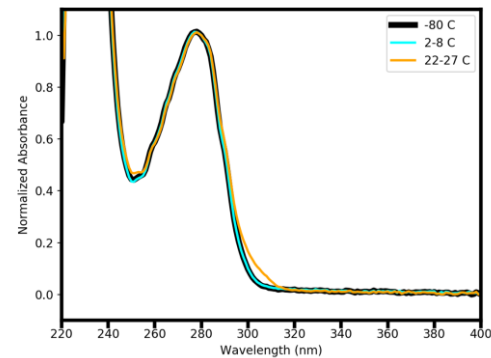
Absorbance at 320/280 for RBD-8GS-I53-50A



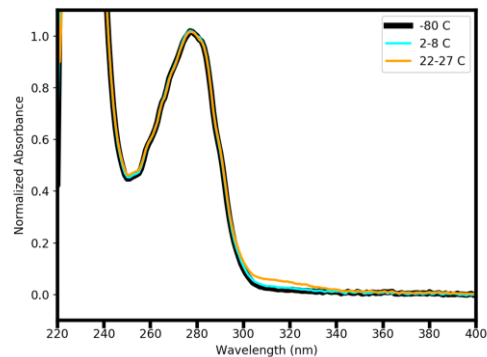
D1



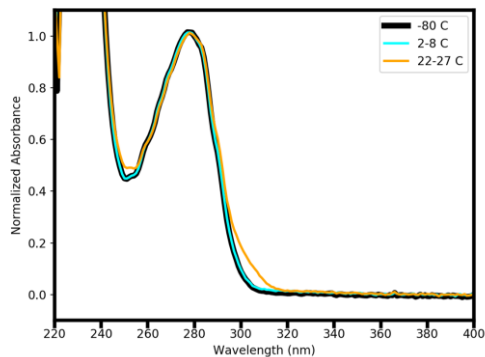
D3



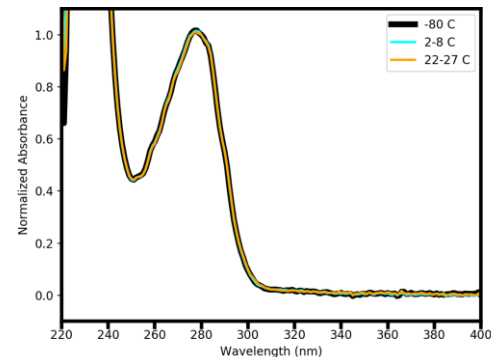
D7



D14

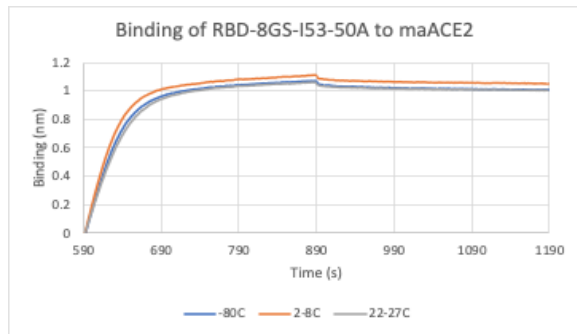


D21

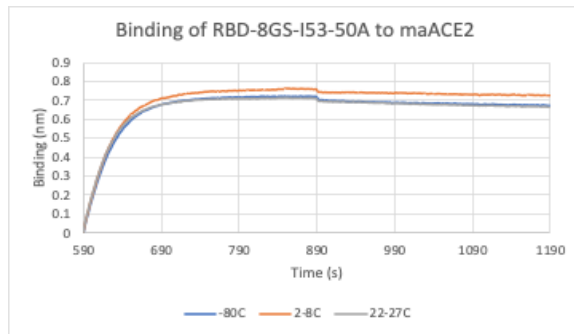


D28

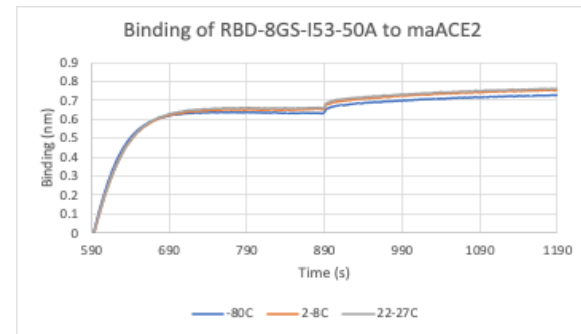
mACE2-Fc Binding Relative to $<-70^{\circ}\text{C}$ Reference for RBD-8GS-I53-50A



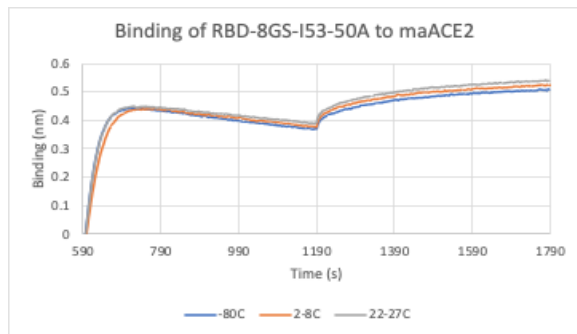
D1



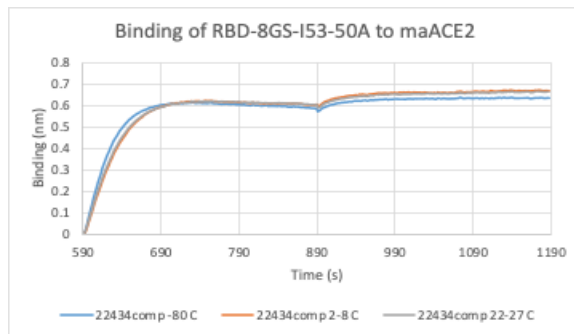
D3



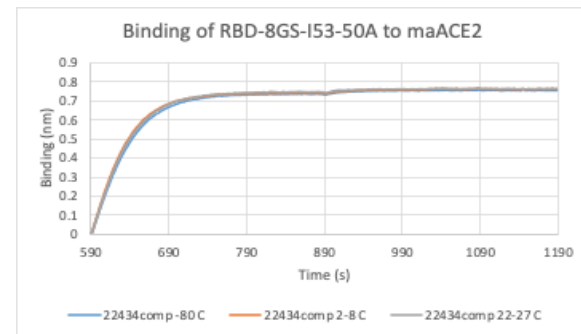
D7



D14

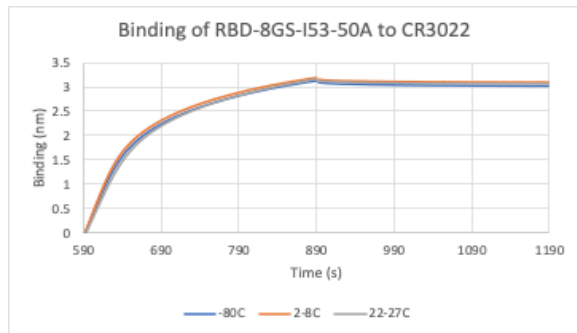


D21

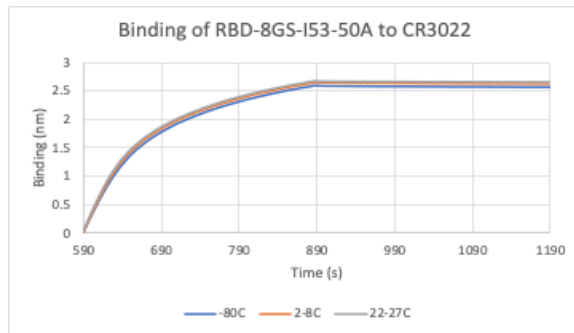


D28

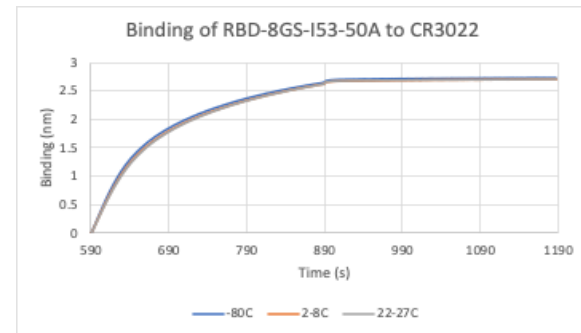
CR3022 IgG Binding Relative to $<-70^{\circ}\text{C}$ Reference for RBD-8GS-I53-50A



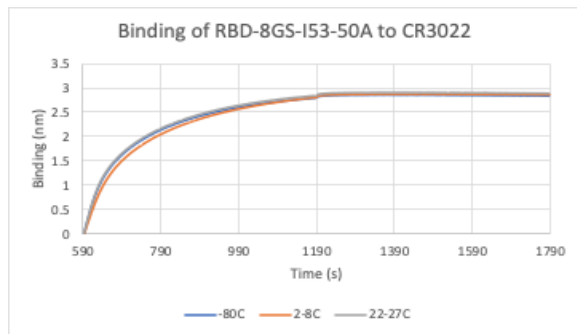
D1



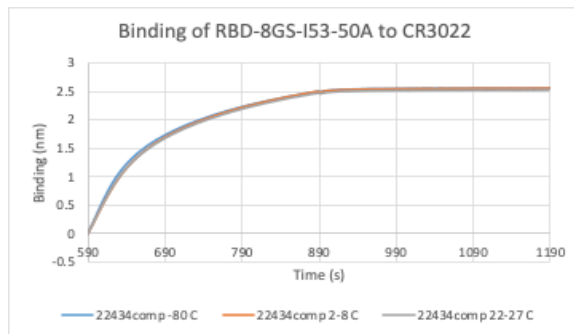
D3



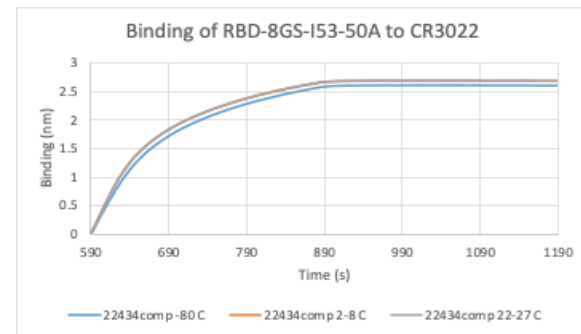
D7



D14

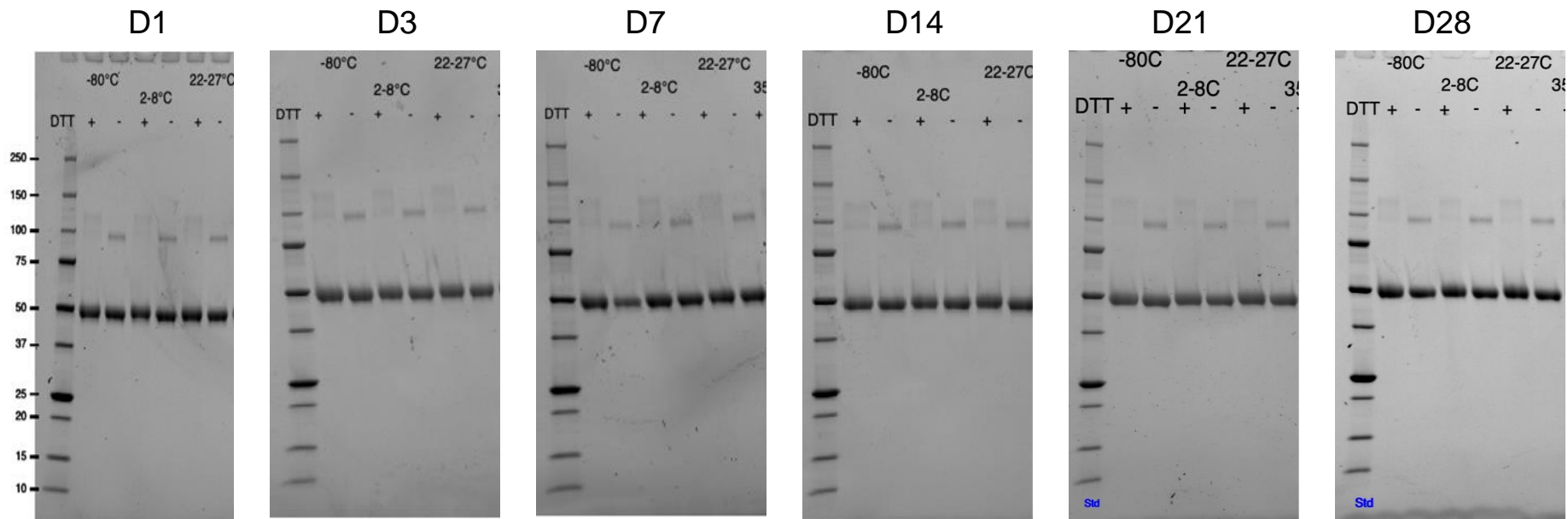


D21

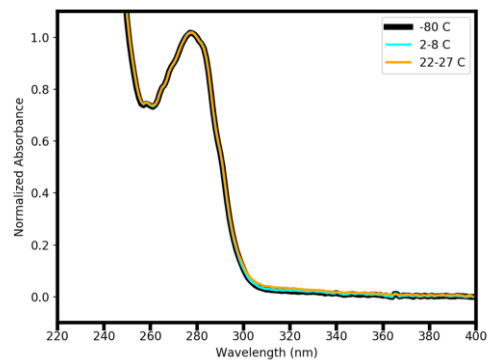


D28

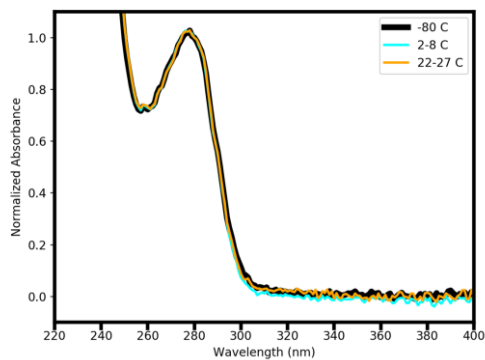
SDS-PAGE for RBD-12GS-I53-50A



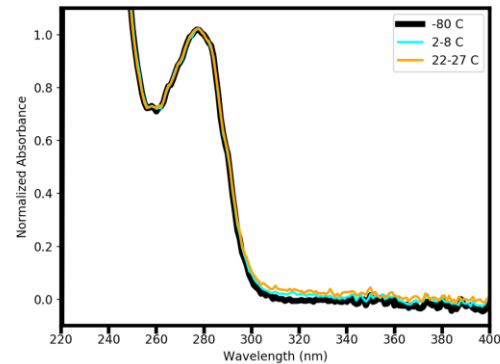
Absorbance at 320/280 nm for RBD-12GS-I53-50A



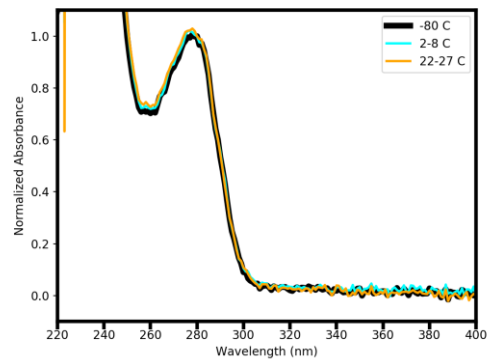
D1



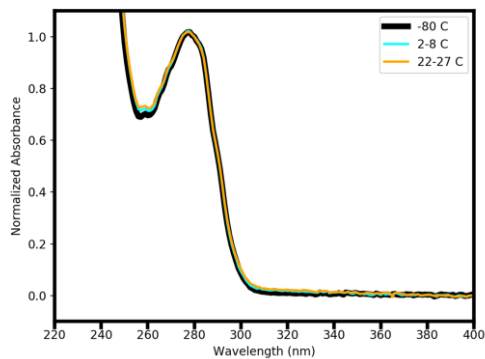
D3



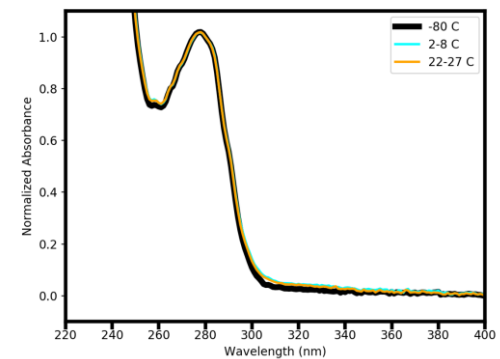
D7



D14

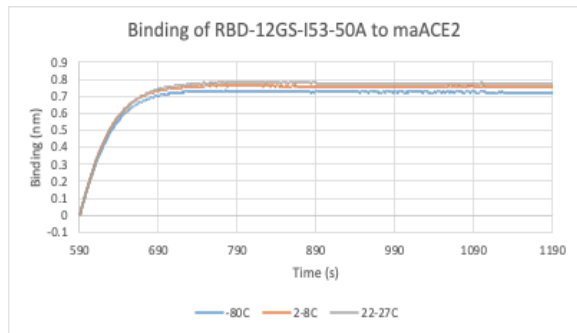


D21

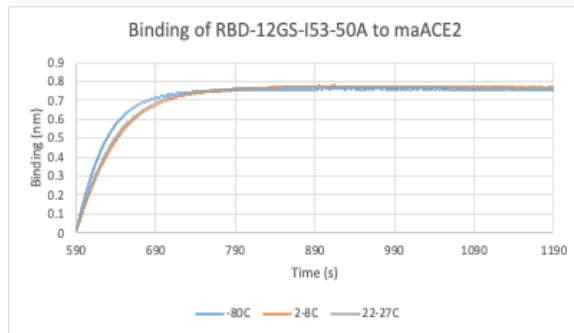


D28

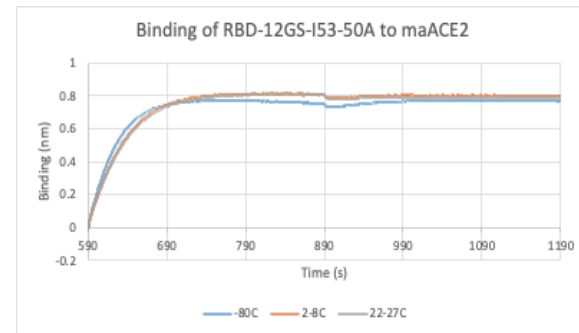
mACE2-Fc Binding Relative to $<-70^{\circ}\text{C}$ Reference for RBD-12GS-I53-50A



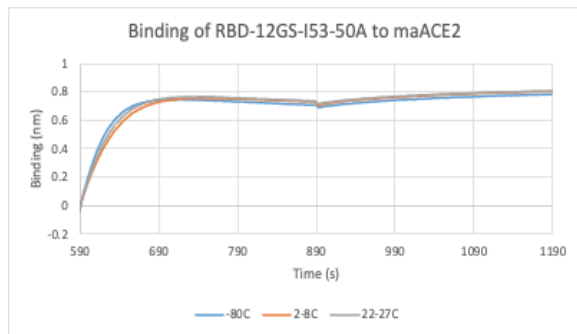
D1



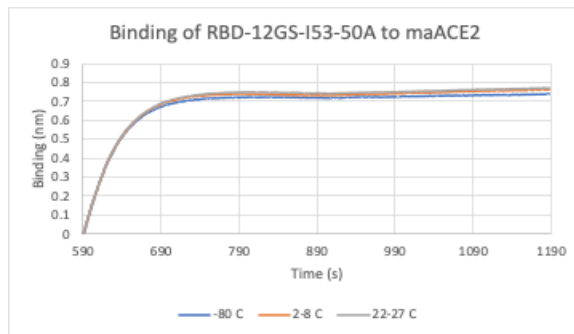
D3



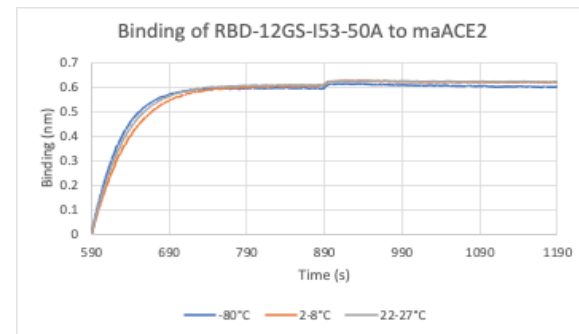
D7



D14

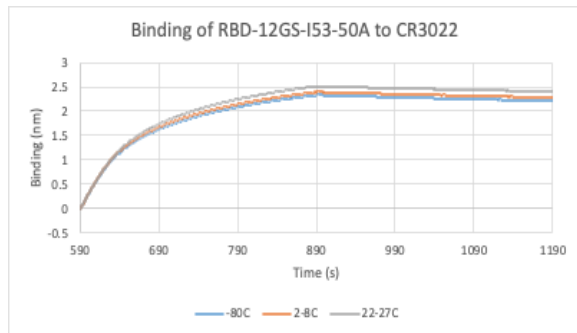


D21

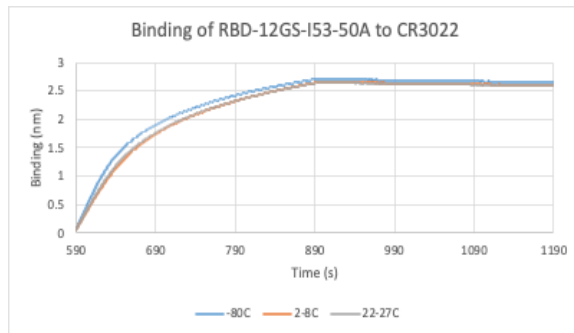


D28

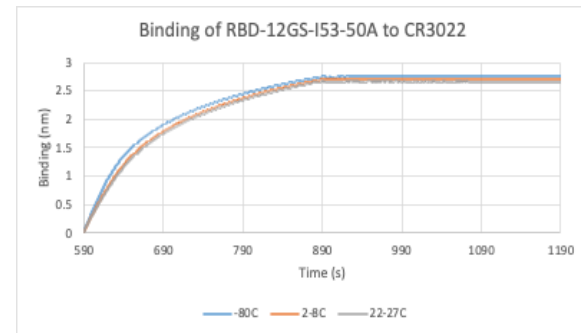
CR3022 IgG Binding Relative to $<-70^{\circ}\text{C}$ Reference for RBD-12GS-I53-50A



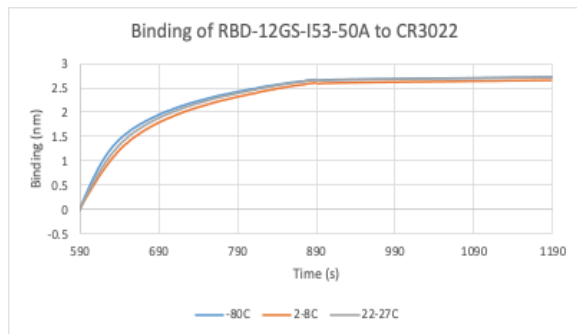
D1



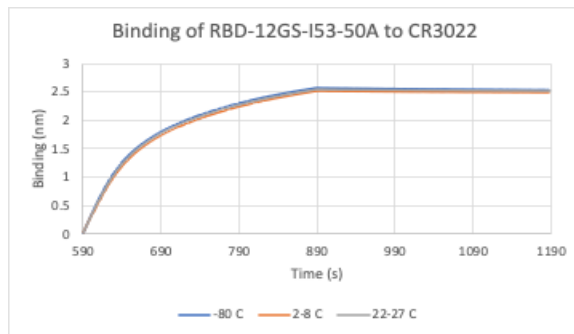
D3



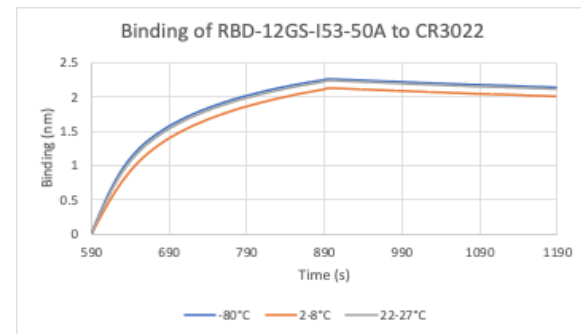
D7



D14



D21



D28

SDS-PAGE for RBD-16GS-I53-50A

D1

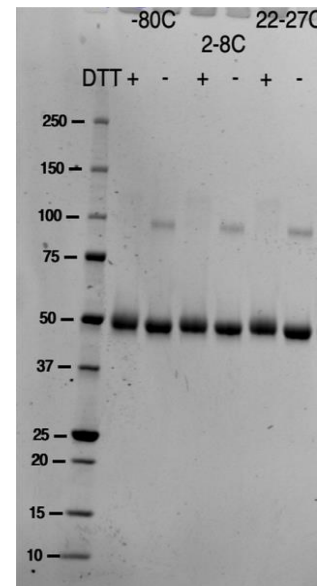
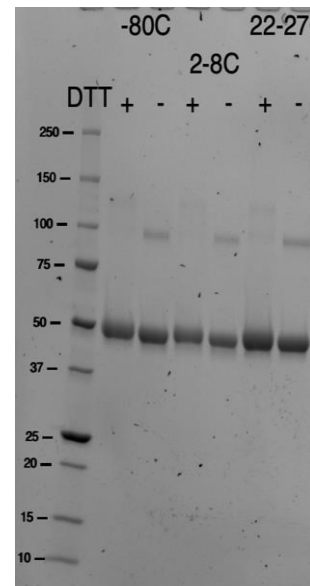
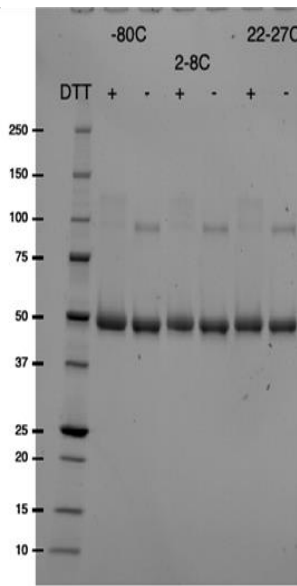
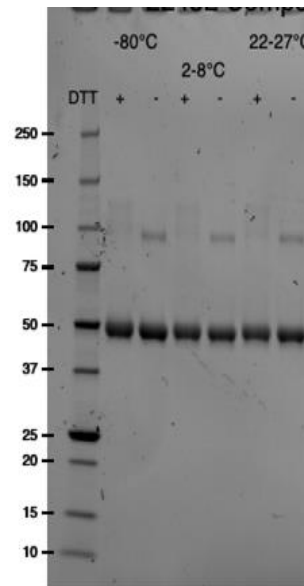
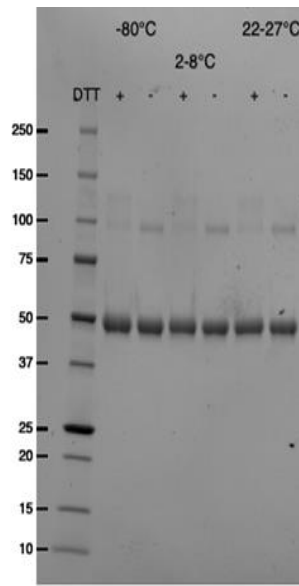
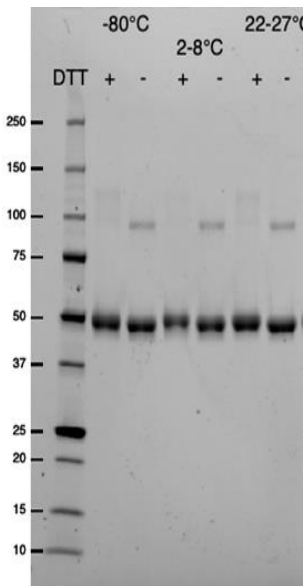
D3

D7

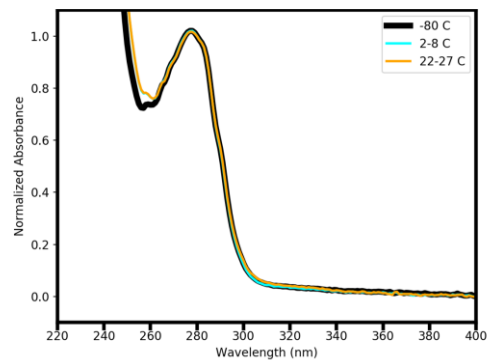
D14

D21

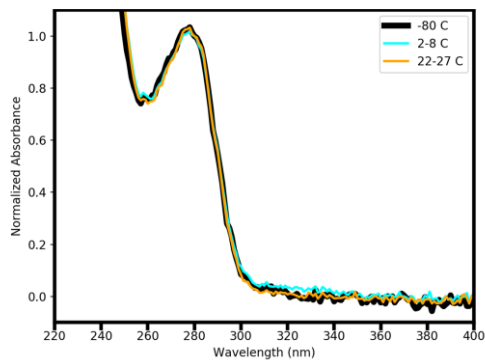
D28



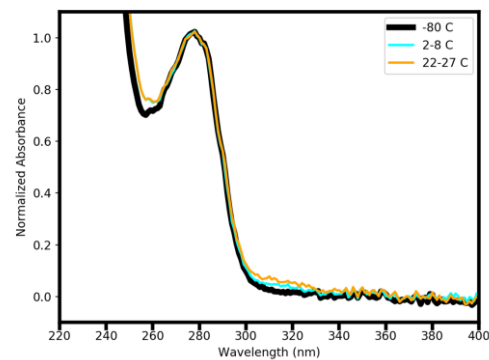
Absorbance at 320/280 for RBD-16GS-I53-50A



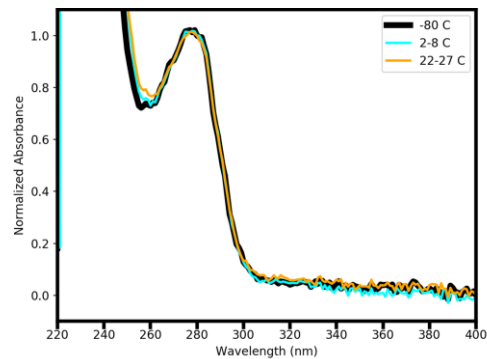
D1



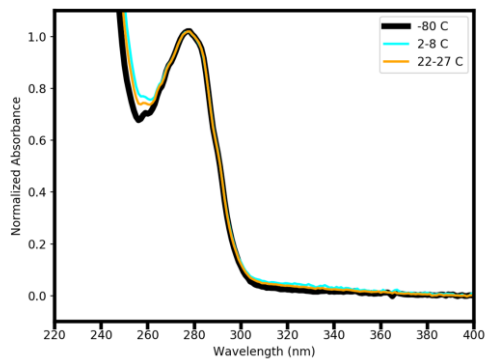
D3



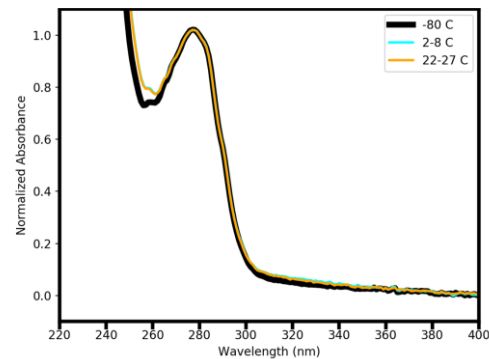
D7



D14

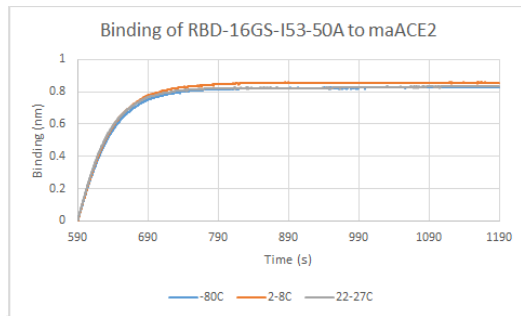


D21

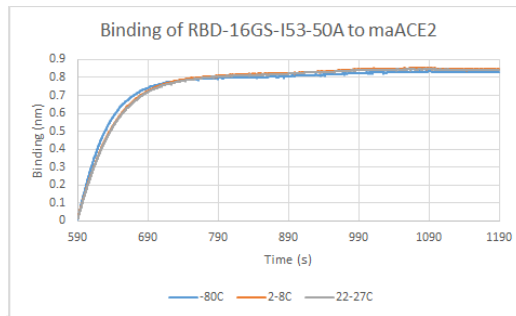


D28

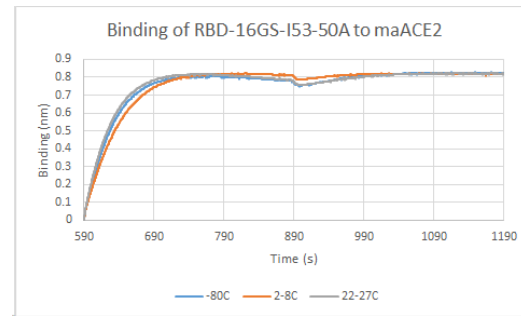
mACE2-Fc Binding Relative to $<-70^{\circ}\text{C}$ Reference for RBD-16GS-I53-50A



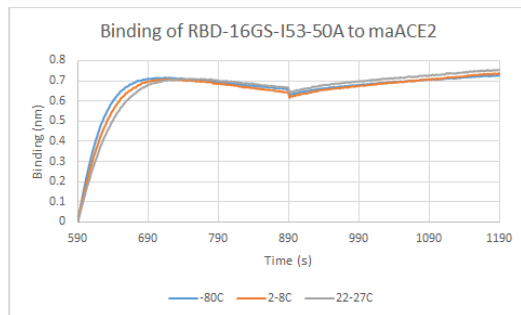
D1



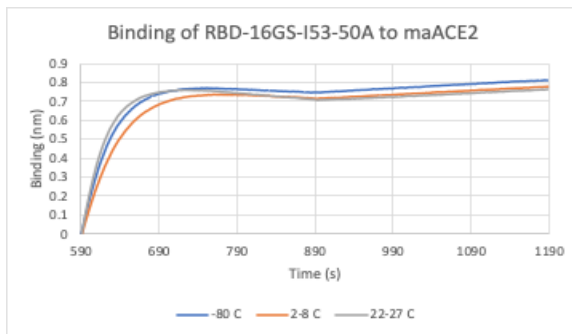
D3



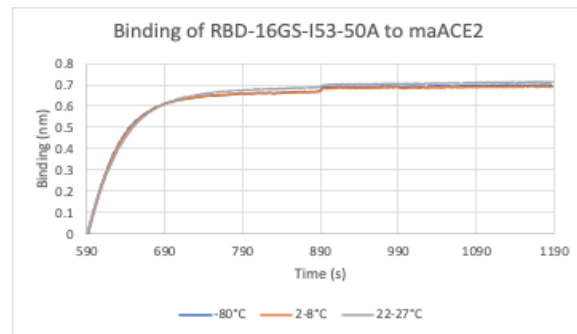
D7



D14

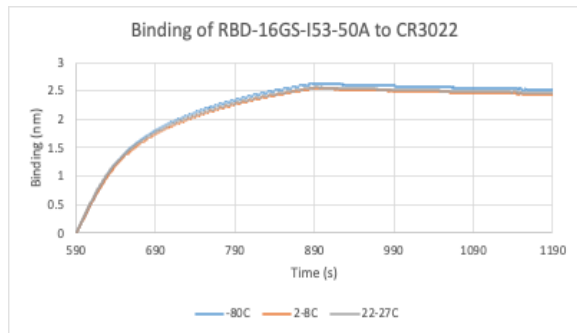


D21

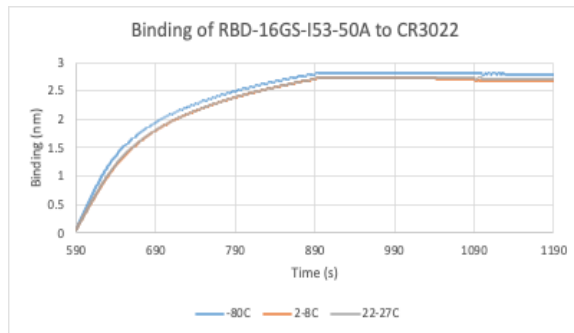


D28

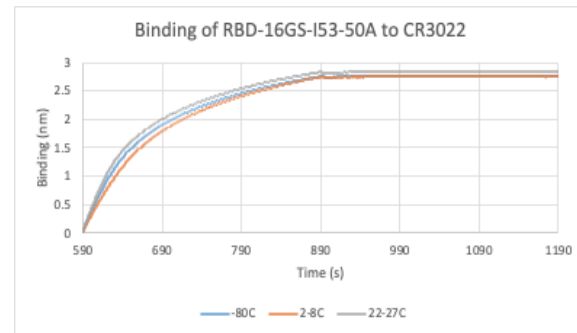
CR3022 IgG Binding Relative to $<-70^{\circ}\text{C}$ Reference for RBD-16GS-I53-50A



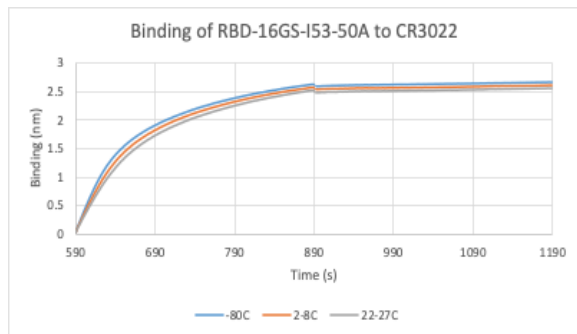
D1



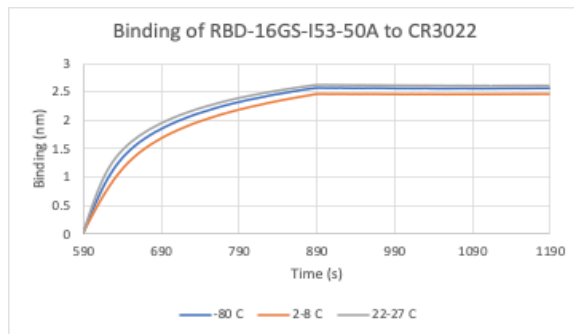
D3



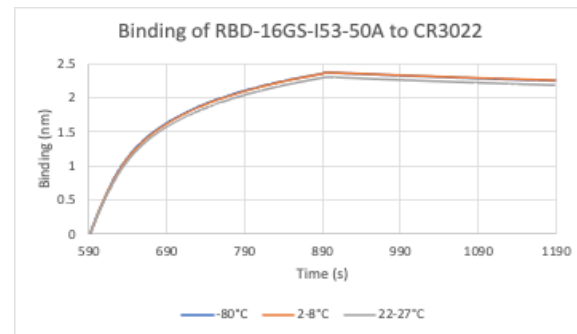
D7



D14

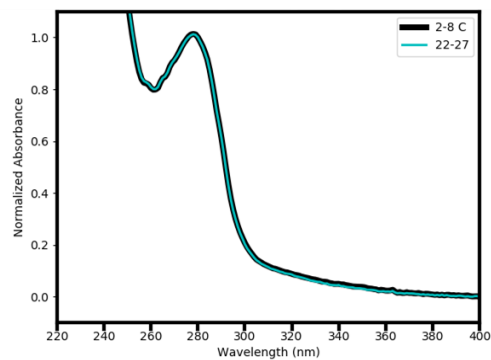


D21

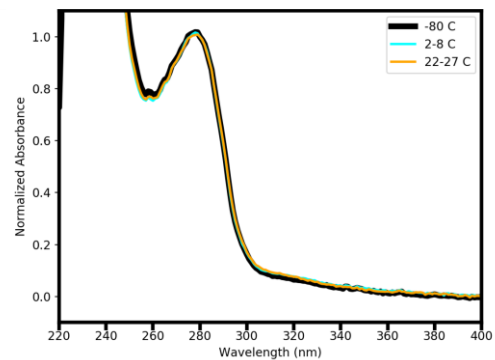


D28

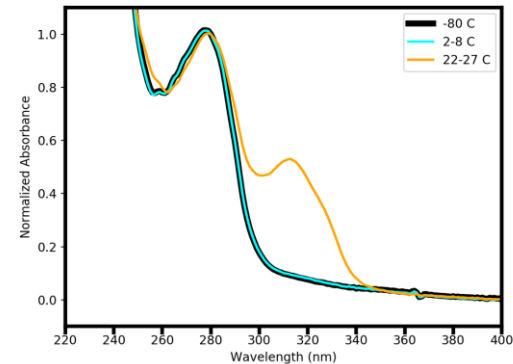
Absorbance at 320/280 nm for RBD-12GS-I53-50



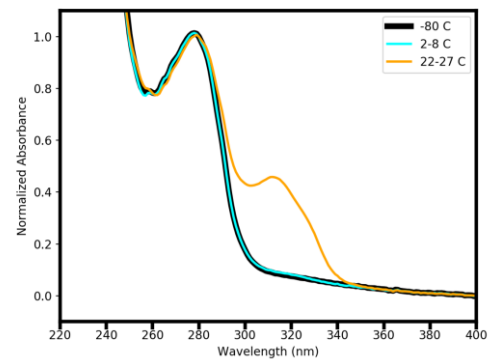
D1



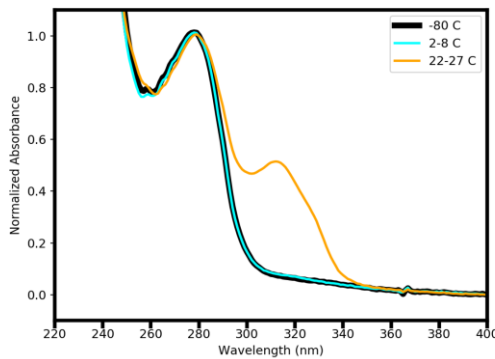
D3



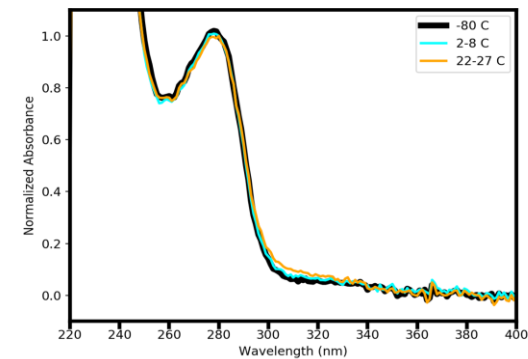
D7



D14

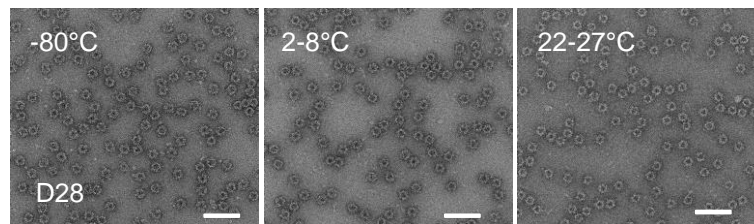
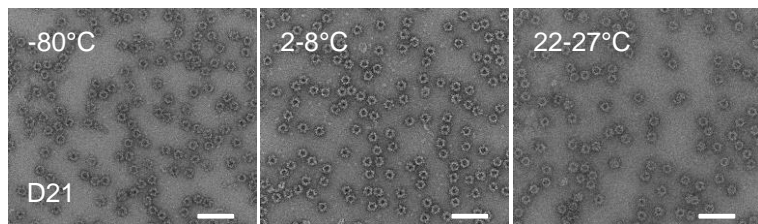
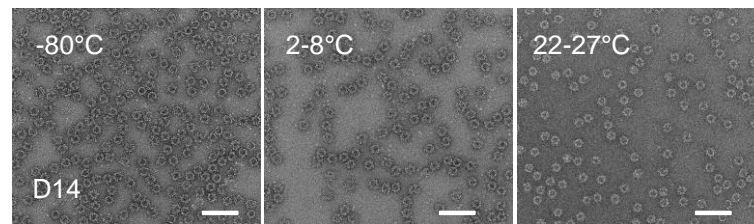
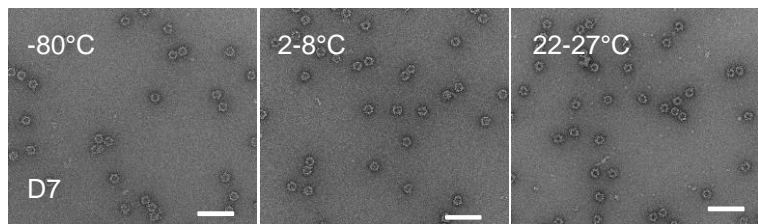
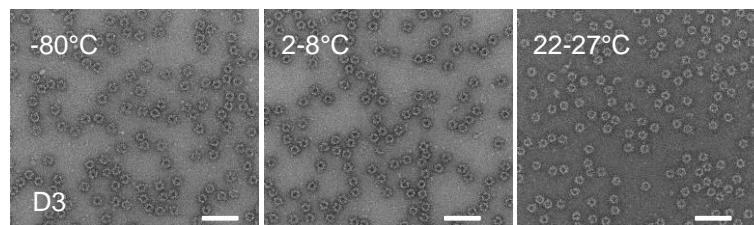
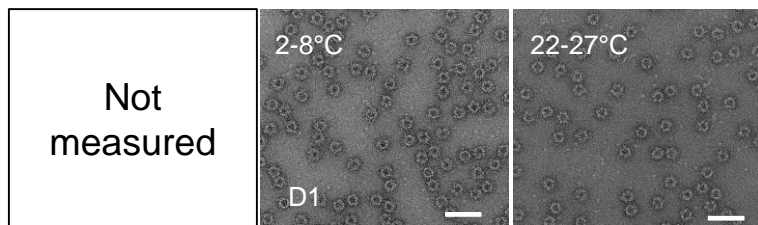


D21



D28

nsEM for RBD-12GS-I53-50



Scale bars: 100 nm